

支持力試験時の砂層内部変位について
—写真計測による変位測定—

東北大学工学部 学生員 ○飯田治男
同 正員 飛田善雄

1. まえがき

地盤の変形をモデル的に測定する方法としてマーカーによる方法 X-ray を用いる方法が知られている。又 砂の様な粒状体については、円柱を用いたラミュレーション樹脂で固めて頭縫で観察する方法が知られている。この報文は測定器具も計測手法も比較的簡単な写真計測を応用して、支持力試験の際の砂層内部の砂の変位挙動を観察した結果を述べるものである。又種々の実験結果と比較し、その考察を行なった結果を報告する。

2. 実験装置

実験装置の概要を図1に示す。装置は、ジャッキにより準静的に任意の荷重をフーチングを通して砂層地盤へ作用させることができ。フーチングは幅45mm、長さ300mmの剛性基礎と考える。ガラス壁上に2cm間隔に白糸でメッシュをほどこした木枠をあて変位測定の基準としている。

今回は、主に砂層地盤へ任意の荷重を作用させ、その時の沈下量を測り、砂層内部のひずみ分布を写真計測で測定し、その進展を荷重沈下曲線と比較することを目的としている。

3. 測定原理

測定原理は、Butterfield et al.⁽¹⁾ 村山らの報文⁽²⁾に詳しいので割愛させて顶く。重要な事は砂粒子そのものの変化を扱える事ができるという事で、詳細な変位が必要となる場合には、実験をやりなおすことなく、求められる事ができる。

4. ひずみの定義

砂の様な粒状体の変位挙動を考える場合に、変位がひずみとして表現されていると理解し易い。ひずみは基準線の交点における4つの点A B C Dを利用して、その中心点Oのひずみを図2により定義した。変位が急激でない限り、基準線長さ2cm程度のメッシュで十分に精度の良い事が知られた。

5. 実験方法

用いた試料は、 $G_s = 2.62$ 粒径2.0mm~0.84mm、 $\epsilon_{max} = 0.88$ $\epsilon_{min} = 0.68$ やや角張った粒子である。ゆる詰め砂は、ロートの先を5cmに保ち均等にまいた。この時の平均間隔比は、 $\epsilon = 0.82$ であった。密詰め砂は、厚さ5cm毎に、ゆる詰めの同

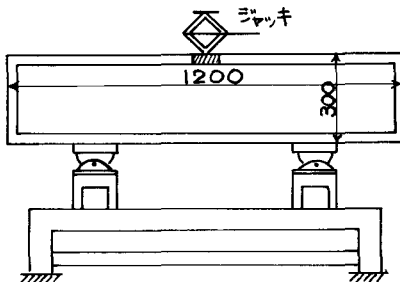


図1 実験装置の概要図

$$\begin{aligned}
 \epsilon_x &= \frac{U_D - U_B}{l_x} \\
 \epsilon_y &= \frac{U_A - U_C}{l_y} \\
 \gamma_{xy} &= \frac{(U_A - U_C)/l_x}{(U_B - U_D)/l_y} \\
 &\quad + (U_B - U_D)/l_y \\
 l_x &= \sqrt{(U_A - U_C)^2 + (U_B - U_D)^2} \\
 U &= \epsilon_x + \epsilon_y
 \end{aligned}$$

図2 ひずみの定義

じ状態できき、突き棒を用いて各另80回突き 側壁を木槌で軽くたたいた。この時の平均間隔比は $e = 0.73$ である。この時の状態を変位Oとした。

6 実験結果と考察

解析例として、ゆる詰め砂のせん断ひずみ分布の発達について報告する。図3に代表的な荷重-沈下曲線を示す。①は密詰めの状態 ②はゆる詰めの状態を示す。ゆる詰めの状態の荷重-沈下曲線で、荷重-沈下曲線の立ち上り部(A) ひずみ硬化部(B) ピーク附近(C) ピーク部(D) における粒子の最大せん断ひずみ分布を図4～7に示す。コーティングの沈下変位に応じてひずみ分布が広がる様子が解る。ひずみ場は、初めコーティング直下の砂表面部分の要素だけではなく、ゆずかに深い要素にも発達し下方及び側方へ広がっていく。ひずみ分布は、ピーク附近へ近づくと卓越することが図4～7より解る。最大せん断ひずみが6%程度になると連続的なひずみ線が形成される。この値は、供試体試験等のピークの近傍の最大せん断ひずみと対応しており以後ひずみ軟化状態へ移り、それまで受けもっていた荷重を他の要素に分配する機構と何らかの関連があるものと思われる。

また、プロントルの理論により内部摩擦角 $\phi = 30^\circ$ とした時のすべり線を図8に示す。これとピーク時の連続的なひずみ線とを比較するとほぼ近似していることが解る。

山口らのX-rayによる方法により得られた結果を図8～9に示す。これは、本実験結果と類似したものである。このことから、本実験が土面上の砂粒子の運動のみではなく、砂槽内部における砂粒子の運動をも推察でき、この方法の有用性を示しているものといえる。

参考文献

(1) Butterfield et al

A stereo-photographic method for measuring displacement fields
Geotechnique Vol.20

(2) 村山井上「テレオ写真による石工のせん断時の変位測定」

第13回国土質工学会講演集

図8

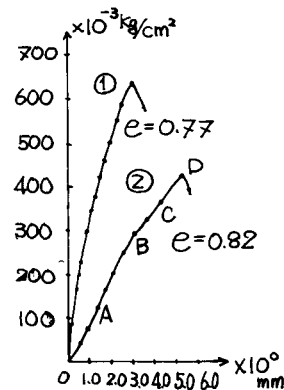
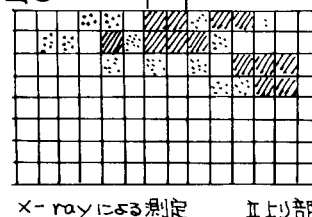


図3 コーティングの荷重-沈下曲線

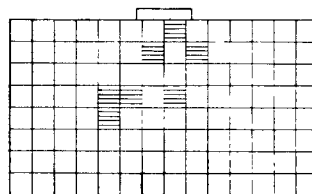


図4 立ち上り部のひずみ分布

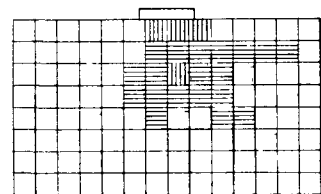


図5 ひずみ硬化部のひずみ分布
 $\Gamma = 12.78 \times 10^{-3} \text{ kg/cm}^2$
 $\Gamma = 29.82 \times 10^{-3} \text{ kg/cm}^2$

□ < 5% ■ 5 < Γ < 10% ▨ 10 < Γ < 15% ▢ 15 < Γ < 20% ▨ Γ > 20%

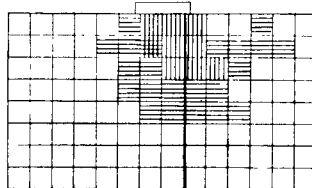


図6 ピーク附近的ひずみ分布

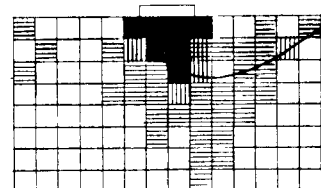


図7 ピーク部のひずみ分布
 $\Gamma = 383.4 \text{ kg/cm}^2$
 $\Gamma = 426.0 \text{ kg/cm}^2$

□ < 5% ■ 5 < Γ < 10% ▨ 10 < Γ < 15% ▢ 15 < Γ < 20% ▨ Γ > 20%

図8

図9

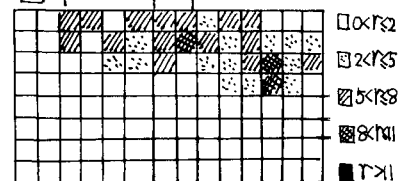


図8 X-rayによる測定
図9 上り部